

Fig. 1. Tracer diffusivities of iron and oxygen, and inter-diffusivity in wustite.

Table 1. Thermodynamic properties of wustite at 1000°C after SPENCER and KUBASCHEWSKI<sup>17)</sup>.

$y$ in $\text{Fe}_{1-y}\text{O}$	No	$\ln N_{\text{Fe}}$	$\ln \alpha_{\text{Fe}}$	$\frac{\ln \alpha_{\text{Fe}}}{\ln C_{\text{Fe}}}$
0.0566	0.5146	0.7228	-0.3217	31.92
0.0654	0.5169	0.7275	-0.6079	31.62
0.0741	0.5192	0.7323	-0.9009	32.19
0.0826	0.5215	0.7371	-1.1978	32.77
0.0909	0.5238	0.7419	-1.4988	32.59
0.0991	0.5261	0.7468	-1.8030	33.92
0.1071	0.5283	0.7514	-2.0990	37.02
0.1150	0.5305	0.7561	-2.4277	38.31
0.1228	0.5327	0.7608	-2.7664	

Table 2. Expression of lattice and electron defects in wustite.

$V''_{\text{Fe}}$	Iron cation vacancy with minus two charges relative normal iron site.
$\text{Fe}^x_{\text{Fe}}$	Interstitial ferrous cation with plus two charge relative to normal lattice site.
$\text{Fe}^y_{\text{Fe}}$	Ferric cation on an iron site with plus three charges relative to normal iron site.
$\text{Fe}^z_{\text{Fe}}$	Ferrous cation on an iron site.
$\text{O}^x_{\text{O}}$	Oxygen anion on an oxygen site.
$\text{O}^y_{\text{O}}$	Interstitial oxygen anion with minus two charges relative to normal lattice site.
$V'_{\text{O}}$	Oxygen anion vacancy with plus two charges relative to normal lattice site.
$h'$	electron hole.
$e'$	excess electron.

置を表す。また侵入型の格子位置は  $i$  で表す。正常格子を基準とした相対電荷は上付き添え字によつて示す。 $+$  は正、 $-$  は負、また  $x$  は中性電荷を表す。この方法によつてウスタイト中の考え得るすべての格子欠陥を表すと Table 2 のようになる。なお過剰電子と正孔はそれぞれ  $e'$  と  $h'$  によつて表す。

### 3.2 欠陥平衡の表現

格子欠陥、電子欠陥を化学種とみなすことにより、種々の欠陥平衡を表現できる。ただしこの表現には次の約束を守らなければならない<sup>6)</sup>。

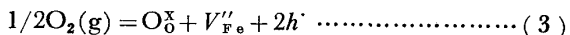
(1) 格子比一定の規則；アニオンとカチオンに対して許されるサイトの比は常に一定である。

(2) 質量保存の規則；欠陥平衡式の右辺と左辺では、質量は保存される。ただし、空孔と電子欠陥の質量はゼロとみなす。

(3) 電気的中性の条件；欠陥平衡式の右辺と左辺で電荷は等しい。

### 3.3 ウスタイトの欠陥モデル

ウスタイト ( $\text{Fe}_{1-y}\text{O}$ ) の欠陥モデルには単純空孔モデルがよく使われる<sup>6) 21) ~ 27)</sup>。このモデルでは格子欠陥として  $V''_{\text{Fe}}$  を、電子欠陥として  $h'$  を考える。ウスタイトと気相との平衡は次式で表される。



(3) 式の平衡定数は

$$K(3) = [\text{O}_6^x][V''_{\text{Fe}}][h']^2 / P_{\text{O}_2}^{1/2} \quad (4)$$

で与えられる。ここで [ ] は格子分率を表す。このモデルでは欠陥種は  $V''_{\text{Fe}}$  と  $h'$  だけを仮定しているから  $[\text{O}_6^x] = 1$  である。つぎにウスタイト中の電気的中性の条件を書き表すと

$$2[V''_{\text{Fe}}] = [h'] \quad (5)$$

となる。また

$$[\text{Fe}^x_{\text{Fe}}] = 1 - y \quad (6)$$

$$[V''_{\text{Fe}}] = y \quad (7)$$

であるから (5), (6), (7) を (4) へ代入して整理すると、

$$K(3) = 4y^3 / P_{\text{O}_2}^{1/2} \quad (8)$$

となつて、 $y$  は  $P_{\text{O}_2}$  の  $1/6$  乗に比例することになる。

ウスタイト中の  $\log y$  と  $\log P_{\text{O}_2}$  の関係を Fig. 2 に示す。実測値<sup>17) 28) 29)</sup>は、ほぼ傾き  $1/6$  の直線上にある。つまり、この単純空孔モデルからウスタイト中の主たる欠陥は  $V''_{\text{Fe}}$  であり、その濃度は  $y$  であることがわかる。このモデルがほぼ妥当なものであることは Fe のトレーサー拡散係数<sup>30)</sup>と比重測定<sup>21)</sup>を組み合わせることによつて証明できる。つまり、欠陥モデルを用いると、このような測定がなくとも、欠陥種とその濃度がかなり予測できる。これが欠陥化学の大きな利点である。

### 3.4 WAGNER の式

単純空孔モデルを用いると  $\text{Fe}_{1-y}\text{O}$  中のトレーサー拡散係数と相互拡散係数の関係は次式のようになる。

$$\therefore \tilde{D} = 3D_{\text{Fe}}^*(1-y)/y \quad (9)$$

この式は WAGNER の式と呼ばれる。導出は成書<sup>6) 14) 16)</sup>を参照されたい。(9) 式より求めた  $\tilde{D}$  の値と LEVIN and WAGNER<sup>8)</sup> が実験的に求めた  $\tilde{D}$  の値をまとめると Table 3 のようになる。 $\tilde{D}$  (計算値) と  $\tilde{D}$  (実測値) はよく一致しているとみなせる。

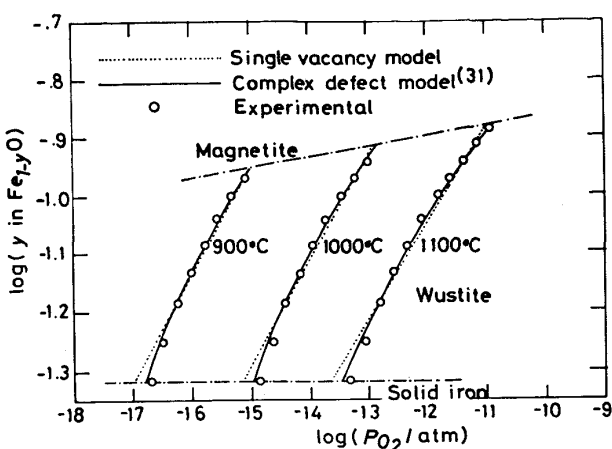


Fig. 2. Non-stoichiometry in wustite.

Table 3. Tracer diffusivity of iron and inter-diffusivity in wustite.

	Atomic ratio of oxygen to iron	
	1.050	1.075
Tracer diffusivity of iron	$9.1 \times 10^{-8} \text{ cm}^2/\text{s}$	$2.0 \times 10^{-7} \text{ cm}^2/\text{s}$
Inter-diffusivity (Experimental)	$3.3 \times 10^{-6} \text{ cm}^2/\text{s}$	$2.5 \times 10^{-6} \text{ cm}^2/\text{s}$
Inter-diffusivity (Calculated with eq. (9))	$5.6 \times 10^{-6} \text{ cm}^2/\text{s}$	$8.0 \times 10^{-6} \text{ cm}^2/\text{s}$
Inter-diffusivity (Calculated with eq. (49))	$2.7 \times 10^{-6} \text{ cm}^2/\text{s}$	$6.0 \times 10^{-6} \text{ cm}^2/\text{s}$

### 3.5 ウスタイトの複合欠陥モデル

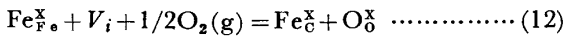
複合欠陥モデルを用いると  $\log y$  と  $\log P_{\text{O}_2}$  の関係は単純空孔モデルよりも実測値とさらに良く一致する<sup>31)32)</sup>。このモデルでは、侵入型の鉄イオン 1 個と鉄イオン空孔 2 個から成る複合欠陥の存在を仮定する。この時、鉄イオンが侵入型に入り得るのは 4 面体位置のみであり、鉄イオン空孔は 8 面体位置にのみ生成すると制限条件をつけておく。また記述に便利なように、この複合欠陥を  $\text{Fe}^{\ddagger}$  と表すこととする。すなわち

$$\text{Fe}_{\text{C}} \equiv V_{\text{Fe}} \text{Fe}_{\text{i}} V_{\text{Fe}} \quad \dots \quad (10)$$

と定義する。複合欠陥以外に 3 値の Fe イオンの存在も考える。また複合欠陥には、中性のものとマイナス 1 値のものと 2 通りあると考える。電子欠陥については、正孔のみを考えるが、正孔と  $\text{Fe}_{\text{F}}^{\ddagger}$  とは同一のものとみなす。つまり

$$\text{Fe}_{\text{F}}^{\ddagger} \equiv \text{Fe}_{\text{F}}^{\ddagger} + h^{\ddagger} \quad \dots \quad (11)$$

である。最初にウスタイトと気相との平衡を表す。



である。ここで  $V_i$  は Fe イオンが侵入していない侵入型イオンサイトを表す。この(12)式の意味は以下のとおりである。

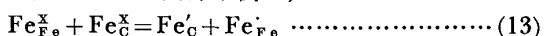
(1) 正常格子位置にある Fe イオンと酸素ガスが反応すると、

(2) Fe イオンは正常格子位置から侵入イオンサイトへ追いやられ、Fe イオンサイトが一つ空になる。

(3) 酸素イオンのサイトは（酸素ガスがウスタイトへ移行することによって）一つ増えるので相対的に Fe イオンのサイトが一つ空になる。(2)で生成した Fe イオン空孔と併せて合計 2 個の Fe イオン空孔ができる。

(4) この 2 個の Fe イオン空孔と侵入型 Fe イオンと併せて複合欠陥とみなし、 $\text{Fe}_{\text{C}}^{\ddagger}$  と表す。

格子欠陥相互間の内部平衡は、



と書ける。1 mol の  $\text{Fe}_{1-y}\text{O}$  中の Fe 原子の個数を全部数えると Fe サイト 1 個あたり  $1-y$  個のはずであるから

$$[\text{Fe}_{\text{F}}^{\ddagger}] + [\text{Fe}_{\text{C}}^{\ddagger}] + [\text{Fe}_{\text{C}}^{\ddagger}] + [\text{Fe}_{\text{F}}^{\ddagger}] = 1-y \quad \dots \quad (14)$$

が得られる。一方鉄イオン空孔の個数を全部数えると Fe サイト 1 個あたり  $y$  個になるはずであるから

$$[\text{Fe}_{\text{C}}^{\ddagger}] + [\text{Fe}_{\text{C}}^{\ddagger}] = y \quad \dots \quad (15)$$

となる。次に電気的中性の条件は

$$[h^{\ddagger}] \equiv [\text{Fe}_{\text{F}}^{\ddagger}] = [\text{Fe}_{\text{C}}^{\ddagger}] \quad \dots \quad (16)$$

である。さきに Fe イオンが侵入型に入りうるのは、4 面体位置のみであると仮定したが、この 4 面体侵入サイトの数は 8 面体サイト（通常の Fe イオンサイト）の数の 2 倍ある。ところが、いつたんある 4 面体侵入サイトに Fe イオンが侵入すると、それに隣接する 6 個の 4 面体侵入サイトには、Fe イオンはもはや侵入できないものと仮定する。この仮定の下で、Fe イオンに侵入されていない 4 面体侵入サイトの数を Fe サイト 1 個あたりで数えると、

$$[V_i] = 2 - 7 \{ [\text{Fe}_{\text{C}}^{\ddagger}] + [\text{Fe}_{\text{C}}^{\ddagger}] \} \quad \dots \quad (17)$$

が得られる。最後に欠陥平衡(12)と(13)に質量作用の法則を適用すると、

$$K(12) = [\text{Fe}_{\text{C}}^{\ddagger}] [\text{O}_0^{\ddagger}] / [\text{Fe}_{\text{F}}^{\ddagger}] [V_i] P_{\text{O}_2} \quad \dots \quad (18)$$

$$K(13) = [\text{Fe}_{\text{C}}^{\ddagger}] [\text{Fe}_{\text{F}}^{\ddagger}] / [\text{Fe}_{\text{F}}^{\ddagger}] [\text{Fe}_{\text{C}}^{\ddagger}] \quad \dots \quad (19)$$

となる。以上の複合欠陥モデルで得られる式は、(14)～(19)の六つである。この 6 個の連立方程式を解くと、 $P_{\text{O}_2}$  は

$$P_{\text{O}_2} = \{ K(12) (1-2y-\beta) (2-7y) / (y-\beta) \}^{1/2} \quad \dots \quad (20)$$

によつて計算できる。ただし  $\beta$  は

$$\beta = \frac{K(12) (1-y) \pm \sqrt{[K(13)]^2 (1-3y)^2 + 4K(13) (1-2y)}}{2[1-K(13)]} \quad \dots \quad (21)$$

である。

$K(12)$  と  $K(13)$  に適切な値を代入して計算すると Fig. 2 に示すように単純空孔モデルよりも実験値とよく一致した計算結果が得られる。

ウスタイトについては以上の KOFSTAD のモデル以外にも多数の複合欠陥モデルが提案されている<sup>33)～38)</sup>。いずれも複合欠陥として、侵入 Fe イオンと Fe イオン空

孔を仮定する。モデルより得られる式の形はそれぞれ異なつてはいるが、仮定は同じである。どのモデルでも、 $\log \gamma$  と  $\log P_{O_2}$  の関係は単純空孔モデルよりは実験値とよく一致する。

欠陥モデルの妥当性は計算から得られた  $\gamma$  と  $\log P_{O_2}$  の関係が熱力学データと一致するか否かによつて検討される。逆に熱力学データの測定精度を上げれば欠陥構造が推定できる場合もある。この種の研究に VALLETら<sup>26)</sup><sup>39) 41)</sup>のものがある。彼らは熱力学測定結果から、ウスタイトは order-disorder 変態を持ち、三つの相に分けられるものと推定した。FENDER and RILEY<sup>40)</sup> はその後ジルコニアを用いた起電力法によりこの三つの相境界を確認したと報告している。ただしこれら三つの“相”境界でウスタイトの熱力学的性質が大きく変化するわけではない。

物理的な手段によつてウスタイトの欠陥構造を直接研究しようとする試みもいくつか報告されている。この種の研究結果によれば、ウスタイト中の欠陥構造はモデル計算によつて推定したものと多少異なつてゐる。例えば、高温から急冷したウスタイトのX線回折やTEM観察によると、ウスタイト中の主たる欠陥は、Feイオン空孔四つと侵入型Feイオン一つから成る複合欠陥であると推定されている<sup>42)~45)</sup>。ただしウスタイト中の拡散や電気電導との関連について考える場合には、欠陥モデルから推定した欠陥構造の方が実験結果を良く説明できる場合が少なくない。

### 3.6 欠陥モデルの作り方

以上に紹介したウスタイトの複合欠陥モデルから、欠陥モデルの作り方を次のようにまとめることができる。

- (1) 最初のステップは欠陥種の仮定である。仮定した欠陥種の数が少ないほどモデルは簡単になる。
- (2) 仮定した欠陥種と気相との平衡を書き表す。
- (3) 欠陥相互間の内部平衡を記述する。欠陥種を一種類しか仮定しない場合には内部平衡の式は不要である。
- (4) サイトの数を数える。単純空孔モデルならこれは(6), (7)式である。
- (5) 電気的中性の条件を書き表す。
- (6) 最後に欠陥平衡に質量作用の法則を適用する。

以上によつて得られる連立方程式を解いて、各々の欠陥の濃度を  $P_{O_2}$  の関数として求めれば、欠陥モデルが完成する。モデルが単純な場合には、連立方程式も簡単になり、容易に解析解が得られる。欠陥モデルは、パラメーターとして、平衡定数を複数個含んでいる。ゆえに、欠陥モデルを作成した後、非化学量論性と酸素分圧の関係が実測値に合うよう平衡定数をパラメーターとして定めなければならない。ただしこのパラメーターは温度のみの関数で、しかも

$$K = \exp(-\Delta G/RT) \quad \dots \dots \dots (22)$$

( $R$ : ガス定数,  $T$ : 温度,  $\Delta G$ : 自由エネルギー) で表されるような温度依存性を持つていなければならない。欠陥モデルを計算機で解けばモデルと実測値が一致するようにパラメーターを選ぶことができるが、求めたパラメーターは、上のような検討が必要である。

作つたモデルが妥当なものかどうか検討する他の方法は、拡散係数あるいは電気電導度と比較することである。SCHMALZRIED<sup>46)</sup>は注目する拡散種のトレーサー拡散係数が、格子欠陥 ( $d$ ) を介したものであるなら、侵入型拡散、空孔拡散を問わず、

$$\frac{D_i^*(P'_{O_2})}{D_i^*(P''_{O_2})} = \frac{[d] \text{ (at } P'_{O_2})}{[d] \text{ (at } P''_{O_2})} \quad \dots \dots \dots (23)$$

( $[d]$ : 欠陥  $d$  の濃度)

が成立するとしている。ゆえに  $D_i^*$  の  $P_{O_2}$  依存性が実験的に決定されれば(23)式を用いてモデルの妥当性が確認できる。

### 3.7 マグネタイトの欠陥構造

マグネタイト ( $Fe_{3-y}O_4$ ) は逆スピネル構造を持った、金属欠乏型の酸化物である。いまスピネルを  $AB_2O_4$  と表すことにして、正スピネルなら A サイトには Fe 2 値イオンが入り、B サイトには Fe 3 値イオンが入ることになる。ところがマグネタイトは逆スピネルであるから、Fe 2 値イオンは B サイトに入る。一方 Fe 3 値イオンは A サイトと B サイトの両方にいると仮定する。(Fe 3 値イオンの個数は Fe 2 値イオンの 2 倍ある。)

ここで正常格子を次のように約束しておく。

A サイトに Fe 2 値イオンが入つた時正常格子とみなす。

B サイトに Fe 3 値イオンが入つた時正常格子とみなす。

このように約束すると、

A サイトに入つた Fe 3 値イオンは  $Fe_A^3$

B サイトに入つた Fe 2 値イオンは  $Fe_B^2$

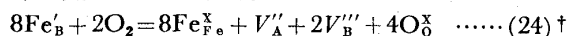
B サイトに入つた Fe 3 値イオンは  $Fe_B^3$

と表せる。

先に述べたステップに従つてモデルを作つてみよう。

(1) 欠陥種の仮定:  $Fe_B^3$ ,  $Fe_A^3$ ,  $V_A''$ ,  $V_B'''$  の四つ

(2) 気相との平衡反応:



(3) 格子欠陥相互間の内部平衡:



(4) サイトの数:

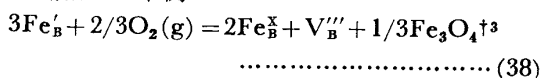


† (24)式の意味は以下のとおりである。

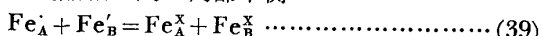
- (A) B サイトにある Fe 2 値イオン 8 個と酸素ガス分子 2 個が反応すると B サイトの Fe イオンは 3 値になる。
- (B) 酸素ガスはマグネタイト中に 4 個の正常酸素イオンサイトを生成する。
- (C) 同時に Fe イオンサイトは 3 個増え、Fe イオン空孔が三つできる。
- (D) この三つの空孔のうち二つは B サイトにあり、一つは A サイトにある。



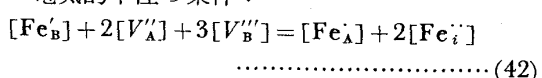
(2) 気相との平衡:



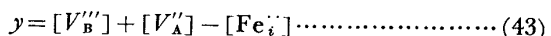
(3) 欠陥相互間の内部平衡:



(5) 電気的中性の条件:



(6) サイトの数:



以上の式から  $\gamma$  と  $P_{\text{O}_2}$  の関係を導くには次のように仮定すると計算が簡単になる。

仮定1: Aサイトの空孔濃度とBサイトの空孔濃度は等しい。

仮定2: AサイトのFe3価イオンの数とBサイトのFe3価イオンの数も等しい。仮定1と2から  $K(41)=1$  とすることができます。

仮定3: AサイトのFe2価イオンの数とBサイトのFe2価イオンの数も等しい。仮定1と3から  $K(39)=1$  とすることができます。

DIECKMANNらは  $K(38)=24$ ,  $K(40)=10$  とした場合、Fig. 3に示すように  $\log \gamma$  と  $\log P_{\text{O}_2}$  の関係は実測値とよく一致すると報告している。

SCHMALZRIEDの侵入型Feイオン複合欠陥モデルを用いてマグネタイト中の格子欠陥濃度を計算するとFig. 5(b)のような酸素分圧依存性を示す。酸素分圧が高い時は、主たる欠陥はAサイトまたはBサイトのFeイオン空孔であるが、酸素分圧が低くなると、侵入型Fe

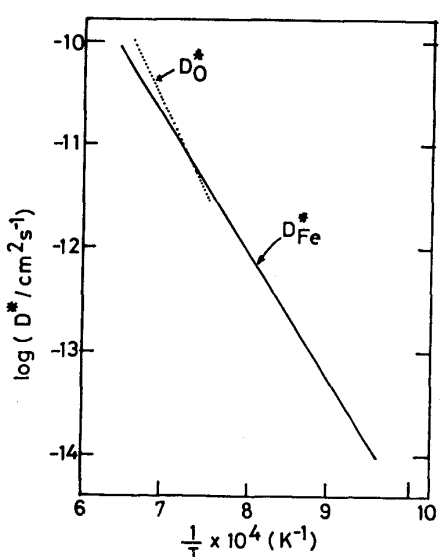
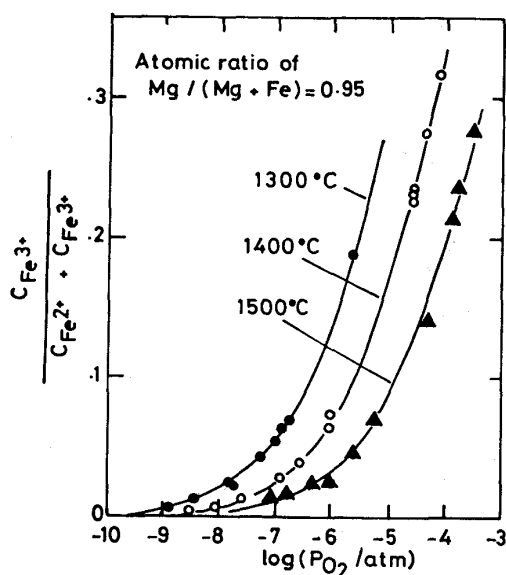
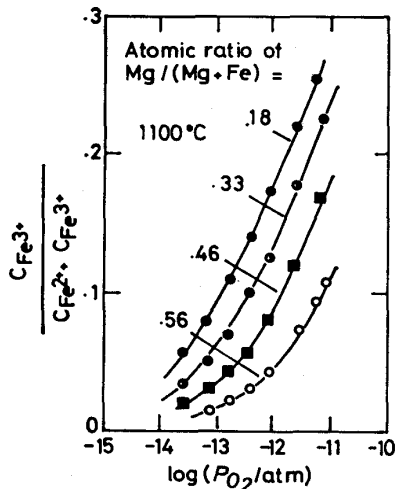


Fig. 6. Tracer diffusivities of iron and oxygen in hematite.

<sup>†³</sup>  $3\text{Fe}'_B + 2/3\text{O}_2(\text{g}) = 3\text{Fe}^X_B + \text{V}'''_B + 4\text{O}^X_0$  と書いててもよい。



(a) High MgO content.



(b) Low MgO content.

Fig. 7. Relation between  $\text{Fe}^{2+}/(\text{Fe}^{2+} + \text{Fe}^{3+})$  and  $P_{\text{O}_2}$  for magnesio-wustite.

イオンが主たる欠陥となる。図5(a)は単結晶マグネタイト中のFeのトレーサー拡散係数の酸素分圧依存性を示す。 $\log P_{\text{O}_2} = -6.3$  の付近に極小値が現れるが、これより低  $P_{\text{O}_2}$  側では、Feイオンの拡散は主として  $\text{Fe}^{2+}$  の移動によるものであり、一方高  $P_{\text{O}_2}$  側では  $\text{V}''_A$  または  $\text{V}'''_B$  を介した空孔機構によることがわかる。

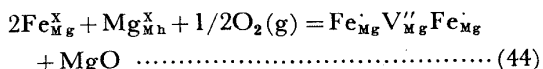
### 3.9 ヘマタイトの欠陥構造

ヘマタイトは酸素欠乏型の酸化物であり、欠陥構造は、酸素イオン空孔または侵入型Feイオンであると考えられている<sup>53)</sup>。ヘマタイト中の  $D_{\text{Fe}}^*$  と  $D_0^*$  を Fig. 6に示す。

### 3.10 マグネシオウスタイトの欠陥構造

マグネシオウスタイトの欠陥構造は単純空孔モデルで推定される場合が多い<sup>54)</sup>。一方 PLUSCHKELLら<sup>55)</sup>はマグネシオウスタイトの複合欠陥モデルを提唱している。

このモデルでは複合欠陥として  $\text{Fe}_{\text{Mg}}^{\text{X}} \text{V}_{\text{Mg}}'' \text{Fe}_{\text{Mg}}$  を仮定している。Fig. 7 (a) に示すように  $\text{MgO}$  濃度の高い場合には、このモデルは実験値と一致する。 $\text{MgO}$  濃度の低い場合でも、実験値とよく一致した結果が得られているが、実は Fig. 7(b) のような計算結果を得るためににはモデルのパラメーターである次式の平衡定数を  $\text{Mg}$  と  $\text{Fe}$  の比によつて変化させねばならなかつた。



ゆえに PLUSCHKELL のモデルは完全なものではない。

その他の複合酸化鉄や酸化鉄固溶体の欠陥構造に関しては、文献 56) や Diffusion and Defect Data<sup>57)</sup>を参照されたい。

### 文 献

- 1) P. G. SCHEWMON: Diffusion in solid, (1963) [McGraw-Hill Book Co.] 笠木和雄、北沢宏一訳、固体内の拡散 (1976) [コロナ社]
- 2) J. BARDET and C. HERRING: Atom movements (1951), p. 87 [A. S. M.]
- 3) B. RELOY, G. BERANGER and P. LACOMBE: J. Phys. Colloq., 34 (1973), p. 309
- 4) K. COMPAAN and Y. HAVEN: Trans. Faraday Soc., 52 (1956), p. 786
- 5) J. MULLEN: Phys. Rev., 121 (1961), p. 1649
- 6) P. KOFSTAD: Non-stoichiometry, Diffusion and Electrical Conductivity in Binary Oxides, (1972) [Wiley-Interscience, New York] および W. D. KINGERY, R. F. BOWEN, and D. R. UHLMANN: Introduction to Ceramics, 2nd edition (1976) [John-Wiley and Sons, New York]
- 7) C. WAGNER: in "Atom Movements" (1951) p. 153 [A. S. M.],
- 8) R. L. LEVIN and J. B. WAGNER: Trans. Metall. Soc. AIME, 233 (1965), p. 159
- 9) P. E. CHILDS and J. B. WAGNER: Heterogeneous kinetics at elevated temperatures, ed. by G. R. BELTON and W. L. WORRELL (1969), p. 26
- 10) P. L. HEMBREE and J. B. WAGNER: Trans. AIME, 245 (1954), p. 1547
- 11) R. CRATER and F. D. RICHARDSON: Trans. AIME, 200 (1954), p. 1244
- 12) J. CRANK: Mathematics of Diffusion (1956) [Oxford University Press, London]
- 13) W. JOST: Diffusion in Solid, Liquid and Gases (1952) [Academic Press]
- 14) E. T. TURKDOGAN: Physicochemical properties of molten slags and glasses (1983), p. 30 [The Metal Society, London]
- 15) L. S. DARKEN: Atom Movements (1951), p. I [A. S. M.]
- 16) B. C. H. STEELE: Physical chemistry of process metallurgy-Richardson conference, ed. by J. H. E. JEFFES and R. TAIT (1974), p. 1 [I. M. M., London]
- 17) P. J. SPENCER and O. KUBASCHEWSKII: CALPHAD, 2 (1978), p. 147
- 18) A. G. REES: Chemistry of the defect oxide,
- (1954) [Muthuen, London]
- 19) W. SCHOTTKY: Helbsterprobleme, ed. by W. SCHOTTKY, vol. 4 (1959) [Vieweg und Sohn Braunschweig]
- 20) F. A. KROGER and H. J. VINK: Solid State Physics, ed. by F. Seitz and D. TURNBULL, vol. 3 (1956), p. 307 [Academic Press]
- 21) E. R. JETTE and F. FOOTE: J. Chem. Phys., 1 (1933), p. 29
- 22) C. WAGNER and W. SCHOTTKY: Z. Phys. Chem., B11 (1930), p. 163
- 23) 同上: 同上, B22 (1933), p. 81
- 24) K. HAUFFE and H. PFEIFFER: Z. Metallkd., 44 (1959), p. 27
- 25) D. M. SMITH: J. Phys. Chem. Solid, 19 (1961), p. 167
- 26) P. VALLET and P. RACCAH: Mem. Sci. Rev. Met., 62 (1965), p. 1
- 27) J. BRANSKY and D. S. TANNHAUSER: Trans. Metall. Soc. AIME, 239 (1967), p. 75
- 28) L. S. DARKEN and G. W. GURRY: J. Amer. Chem. Soc., 67 (1945), p. 1398
- 29) 同上: 同上, 68 (1946), p. 798
- 30) K. HIMMEL, R. F. MEHL and C. E. BIRCH-NALL: Trans. Metall. Soc. AIME, 197 (1953), p. 827
- 31) P. KOFSTAD and A. Z. HED: J. Electrochem. Soc., 115 (1968), p. 102
- 32) M. S. SELTZER and A. Z. HED: 同上, 117 (1970), p. 815
- 33) G. G. LIBOWITZ: Mass Transport in Oxides (1968) [National Bureau of Standards Special Publication no. 296, Washington, D. C.]
- 34) H. SOCKEL and H. SCHMALZRIED: Ber. Bunsenges. Phys. Chem., 72 (1968), p. 745
- 35) O. N. SALMON: J. Phys. Chem., 65 (1966), p. 550
- 36) J. S. SMUTS: JISI, 204 (1966), p. 237
- 37) P. DESMARCAUZ and P. LACOMBE: Mem. Sci. Rev. Met., 60 (1963), p. 809
- 38) G. H. GEIGER, R. L. LEVIN and J. B. WAGNER: J. Phys. Chem. Solids, 27 (1966), p. 947
- 39) P. VALLET, M. KLEMAN and P. RACCAH: Compt. Rend., 256 (1963), p. 136
- 40) B. E. F. FENDER and F. D. RILEY: J. Phys. Chem. Solid, 30 (1969), p. 793
- 41) G. G. LIBOWITZ: Progress in solid state chemistry, 2 (1965), p. 216
- 42) J. R. GAVARRI and D. WEIGEL: J. Solid State Chem., 30 (1969), p. 793
- 43) C. LEBRETON and L. W. HOBBS: Radiation Effect, 74 (1983), p. 227
- 44) C. S. VERMATI and P. W. JACOBS: Crst. Latt. Def. and Amorphous Mat., 10 (1983), p. 19
- 45) W. BURGMAN: Met. Sci., 9 (1975), p. 169
- 46) H. SCHMALZRIED: Progress in solid state chemistry, vol. 2 (1965), p. 265
- 47) 同上: Z. Phys. Chem. N. F., 31 (1962), p. 184
- 48) R. DIECKMANN and H. SCHMALZRIED: 同上, 81 (1977), p. 344
- 49) 同上: 同上, 81 (1977), p. 14
- 50) R. DIECKMANN, T. O. MASON, J. D. HODGE and

- H. SCHMALZRIED: 同上, 82 (1978), p. 778  
 51) R. DIEKMAN: 同上, 86 (1982), p. 12  
 52) R. DIEKMAN, C. A. WITT and O. MASON: 同上, 87 (1983), p. 495  
 53) O. N. SALMON: J. Phys. Chem., 65 (1961), p. 550  
 54) 例えは N. SATA and K. S. GOTO: J. Amer. Ceram. Soc., 65 (1982), p. 158  
 55) P. M. VALET, W. PLUSCHKELL and H. G. ENGELL: Arch. Eisenhüttenwes., 46 (1975), p. 383  
 56) H. SOCKEL: Defects and Transport in Oxides, Battel Inst. Mater. Sci. Collq., 8th, 1973, ed. by M. SELTZER and R. I. JAFFEE (1974), p. 341 [Plenum Press, New York]  
 57) Diffusion and Defect Data, Trans. Tech. Publications. 本書は年間数冊刊行される。

酸化鉄還元の格子欠陥化学(2)は「鉄と鋼」Vol. 72 5月号(No. 7)に掲載予定。

目次は下記のとおりです。

4. 固体酸化物中の拡散と酸化鉄の還元
  - 4.1 金属の高温酸化
  - 4.2 酸化鉄の固々相還元
  - 4.3 酸化鉄のガス還元
  - 4.4 固体鉄の生成を伴う酸化鉄のガス還元
  - 4.5 高炉内の還元反応
5. 複合酸化鉄および酸化鉄固溶体の還元反応における固体酸化物内拡散
  - 5.1 Fe-Mg-O 系の還元
    - 5.1.1 固体鉄の生成を伴わないマグネシオウスタイプの還元

### 5.1.2 固体鉄の生成を伴うマグネシオウスタイプの還元

#### 5.2 Fe-Ca-O 系の還元

#### 5.2.1 固体鉄の生成を伴わないカルシオウスタイプの還元

#### 5.2.2 固体鉄の生成を伴うカルシオウスタイプの還元

#### 5.2.3 固体鉄とカルシウムフェライトの生成を伴うカルシオウスタイプの還元

#### 5.2.4 固体鉄と CaO の生成を伴うカルシウムフェライトの還元

#### 5.3 Fe-Si-O 系の還元

#### 5.4 3元系酸化物の還元反応

#### 6. おわりに